

Premesse matematiche

2.1 Gradiente

Sia $f(x, y, z) : \mathbb{R}^3 \rightarrow \mathbb{C}$ una funzione scalare delle coordinate spaziali (x, y, z) . L'ampiezza della funzione $f(x, y, z)$ dipende dal punto di osservazione e risulta in genere costante lungo certe linee o superfici. Si prendano in esame due superfici in cui tale intensità risulta costante e pari a, rispettivamente, f_0 e $f_0 + df$, dove df indica un cambiamento infinitesimo rispetto a f_0 . Con riferimento ai punti P_2 e P_3 presenti in Fig. 2.1 è evidente che per una uguale variazione df si hanno due diverse variazioni spaziali dn e $d\ell$. In particolare dn è la più piccola distanza tra le due superfici e, poiché la variazione df è infinitesima, la direzione \hat{n} risulta ortogonale ad entrambe le superfici. Se con $df/d\ell$ si denota la derivata della funzione f nella direzione $\hat{\ell}$ e con df/dn la derivata della stessa funzione nella direzione \hat{n} , essendo $dn = d\ell \cos(\alpha)$, la relazione tra le due derivate direzionali risulta

$$\frac{df}{d\ell} = \frac{df}{dn} \frac{dn}{d\ell} = \frac{df}{dn} \frac{d\ell \cos \alpha}{d\ell} = \frac{df}{dn} \cos \alpha. \quad (2.1)$$

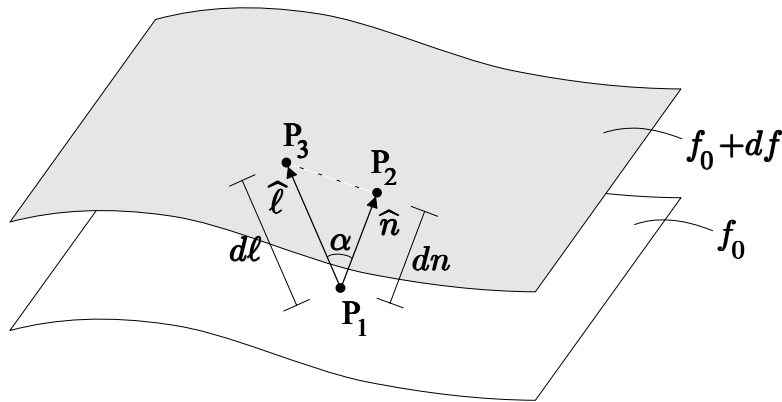


Figura 2.1: Superfici a intensità costante.

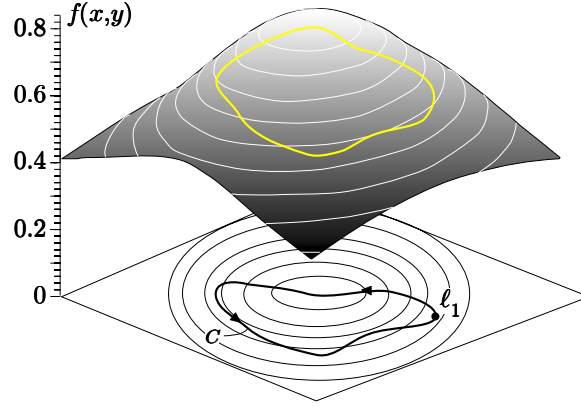


Figura 2.2: Integrazione lungo la curva chiusa C .

E' quindi evidente che la derivata df/dl risulterà massima quando la generica direzione $\hat{\ell}$ risulterà parallela alla direzione \hat{n} , per cui $\alpha = 0$ e $\cos \alpha = 1$.

Si definisce *gradiente* del campo scalare $f(x, y, z)$ il vettore che rappresenta l'ampiezza e la direzione della variazione spaziale massima:

$$\vec{\nabla} f = \frac{df}{dn} \hat{n}. \quad (2.2)$$

E' chiaro che se $\hat{\ell}$ è una generica direzione dello spazio

$$\vec{\nabla} f \cdot \hat{\ell} = \frac{df}{dn} \hat{n} \cdot \hat{\ell} = \frac{df}{dn} \cos \alpha = \frac{df}{d\ell}, \quad (2.3)$$

ed inoltre

$$\int_{\ell_1}^{\ell_2} \vec{\nabla} f(\ell) \cdot \hat{\ell} d\ell = \int_{\ell_1}^{\ell_2} \frac{df(\ell)}{d\ell} d\ell = f(\ell_2) - f(\ell_1). \quad (2.4)$$

Quest'ultima relazione mostra che l'integrale curvilineo del gradiente di una funzione scalare della posizione ℓ dipende solo dai valori che la funzione assume agli estremi dell'intervallo di integrazione e non dalla scelta del percorso. In particolare se si considera una curva chiusa C , così come indicato in Fig. 2.2, si otterrà

$$\oint_C \vec{\nabla} f(\ell) \cdot \hat{\ell} d\ell = \int_{\ell_1}^{\ell_1} \vec{\nabla} f(\ell) \cdot \hat{\ell} d\ell = f(\ell_1) - f(\ell_1) = 0. \quad (2.5)$$

2.1.1 Gradiente in coordinate cartesiane

Dalla definizione di gradiente in (2.2) il differenziale df è esprimibile come

$$df = \vec{\nabla} f \cdot \hat{\ell} dl, \quad (2.6)$$

mentre in coordinate cartesiane risulta

$$\begin{aligned} df &= \frac{\partial f}{\partial x} dx + \frac{\partial f}{\partial y} dy + \frac{\partial f}{\partial z} dz = \\ &= \left(\frac{\partial f}{\partial x} \hat{x} + \frac{\partial f}{\partial y} \hat{y} + \frac{\partial f}{\partial z} \hat{z} \right) \cdot (dx \hat{x} + dy \hat{y} + dz \hat{z}). \end{aligned} \quad (2.7)$$

Nella precedente espressione l'ultimo termine tra parentesi rappresenta l'elemento differenziale di lunghezza $\hat{\ell} dl$ espresso in coordinate cartesiane, per cui:

$$df = \left(\frac{\partial f}{\partial x} \hat{x} + \frac{\partial f}{\partial y} \hat{y} + \frac{\partial f}{\partial z} \hat{z} \right) \cdot \hat{\ell} dl. \quad (2.8)$$

Confrontando l'eq. (2.6) con la (2.8) è subito evidente che il gradiente in coordinate cartesiane è esprimibile come:

$$\vec{\nabla} f = \frac{\partial f}{\partial x} \hat{x} + \frac{\partial f}{\partial y} \hat{y} + \frac{\partial f}{\partial z} \hat{z}. \quad (2.9)$$

In coordinate cartesiane è quindi possibile definire l'operatore $\vec{\nabla}$ (nabla) come:

$$\vec{\nabla} = \frac{\partial}{\partial x} \hat{x} + \frac{\partial}{\partial y} \hat{y} + \frac{\partial}{\partial z} \hat{z}. \quad (2.10)$$

2.1.2 Gradiente in coordinate cilindriche

Procedendo in modo analogo a quanto già fatto per valutare il gradiente in coordinate cartesiane è possibile definire l'operatore nabla in coordinate cilindriche come

$$\vec{\nabla} = \frac{\partial}{\partial \rho} \hat{\rho} + \frac{1}{\rho} \frac{\partial}{\partial \phi} \hat{\phi} + \frac{\partial}{\partial z} \hat{z}, \quad (2.11)$$

e da questo il gradiente come $\vec{\nabla} f$.

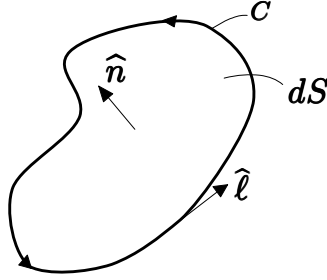


Figura 2.3: Superficie dS racchiusa dal contorno C .

2.1.3 Gradiente in coordinate sferiche

In modo analogo è possibile definire l'operatore nabla in coordinate sferiche come

$$\vec{\nabla} = \frac{\partial}{\partial r} \hat{r} + \frac{1}{r} \frac{\partial}{\partial \theta} \hat{\theta} + \frac{1}{r \sin \theta} \frac{\partial}{\partial \phi} \hat{\phi} \quad (2.12)$$

e da questo il gradiente come $\vec{\nabla} f$.

2.2 Rotore

Sia $\vec{a}(x, y, z)$ un campo vettoriale, cioè una funzione vettoriale dei punti dello spazio, si definisce *rotore* del campo vettoriale $\vec{a}(x, y, z)$ quel vettore la cui componente nella generica direzione \hat{n} risulta

$$\hat{n} \cdot \vec{\nabla} \times \vec{a}(x, y, z) = \lim_{dS \rightarrow 0} \frac{\oint_C \vec{a}(x, y, z) \cdot \hat{\ell} dl}{dS}, \quad (2.13)$$

dove il verso del versore $\hat{\ell}$ tangente al contorno C è di rotazione destrorsa rispetto al versore \hat{n} normale alla superficie dS racchiusa da C (Fig. 2.3). Si noti come la definizione di rotore abbia proprio la forma di un rapporto incrementale; inoltre, nel caso in cui il vettore \vec{a} rappresenti una forza, la circuitazione di tale vettore ($\oint_C \vec{a} \cdot \hat{\ell} dl$) esprime la capacità del campo vettoriale a far ruotare il contorno C intorno al versore \hat{n} .

Si noti come nel caso in cui $\vec{a}(x, y, z) = \vec{\nabla} f(x, y, z)$ si abbia

$$\oint_C \vec{a} \cdot \hat{\ell} dl = \oint_C \vec{\nabla} f \cdot \hat{\ell} dl = \oint_C \frac{df}{dl} dl = 0 \quad (2.14)$$

e quindi, ricordando la definizione di rotore,

$$\vec{\nabla} \times \vec{a} = \vec{\nabla} \times \vec{\nabla} f = 0, \quad (2.15)$$

da cui segue che il rotore del gradiente di una funzione scalare è una funzione nulla. Dualmente, se per un campo vettoriale \vec{a} si verifica la condizione $\vec{\nabla} \times \vec{a} = 0$, il campo è detto irrotazionale (o conservativo) e può essere sempre rappresentato come gradiente di una opportuna funzione scalare $f(x, y, z)$, cioè: $\vec{a}(x, y, z) = \vec{\nabla}f(x, y, z)$. Si noti tuttavia che la funzione scalare $f(x, y, z)$ è definita a meno di una costante c , cioè se $g(x, y, z) = f(x, y, z) + c$ si ha

$$\vec{\nabla}g(x, y, z) = \vec{\nabla}f(x, y, z) + \vec{\nabla}c = \vec{\nabla}f(x, y, z) = \vec{a}(x, y, z), \quad (2.16)$$

essendo nullo il gradiente di una costante ($\vec{\nabla}c = 0$).

2.2.1 Rotore in coordinate cartesiane

$$\vec{\nabla} \times \vec{a} = \left[\frac{\partial a_z}{\partial y} - \frac{\partial a_y}{\partial z} \right] \hat{x} + \left[\frac{\partial a_x}{\partial z} - \frac{\partial a_z}{\partial x} \right] \hat{y} + \left[\frac{\partial a_y}{\partial x} - \frac{\partial a_x}{\partial y} \right] \hat{z} \quad (2.17)$$

2.2.2 Rotore in coordinate cilindriche

$$\vec{\nabla} \times \vec{a} = \left[\frac{1}{\rho} \frac{\partial a_z}{\partial \phi} - \frac{\partial a_\phi}{\partial z} \right] \hat{\rho} + \left[\frac{\partial a_\rho}{\partial z} - \frac{\partial a_z}{\partial \rho} \right] \hat{\phi} + \frac{1}{\rho} \left[\frac{\partial}{\partial \rho}(\rho a_\phi) - \frac{\partial a_\rho}{\partial \phi} \right] \hat{z} \quad (2.18)$$

2.2.3 Rotore in coordinate sferiche

$$\begin{aligned} \vec{\nabla} \times \vec{a} = & \frac{1}{r \sin \theta} \left[\frac{\partial}{\partial \theta}(\sin \theta a_\phi) - \frac{\partial a_\theta}{\partial \phi} \right] \hat{r} + \\ & + \frac{1}{r} \left[\frac{1}{\sin \theta} \frac{\partial a_r}{\partial \phi} - \frac{\partial}{\partial r}(r a_\phi) \right] \hat{\theta} + \\ & + \frac{1}{r} \left[\frac{\partial}{\partial r}(r a_\theta) - \frac{\partial a_r}{\partial \theta} \right] \hat{\phi} \quad (2.19) \end{aligned}$$

2.3 Teorema di Stokes

Si consideri una superficie S aperta il cui contorno è una curva chiusa C . La superficie S può essere supposta costituita da N superfici elementari dS_i con $i = 1, 2, \dots, N$. Si prendano ora in esame due delle N superfici elementari che risultano fra loro adiacenti (ad esempio le superfici dS_1 e dS_2 in Fig. 2.4), per esse risulta:

$$\oint_{C_{12}} \vec{a} \cdot \hat{i}_c dl = \oint_{C_1} \vec{a} \cdot \hat{i}_{c_1} dl + \oint_{C_2} \vec{a} \cdot \hat{i}_{c_2} dl, \quad (2.20)$$

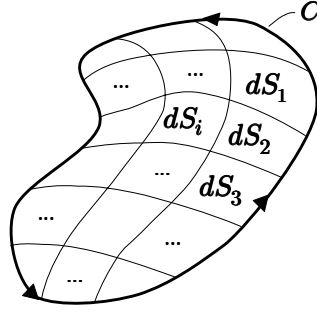


Figura 2.4: Suddivisione della superficie aperta S in superfici elementari.

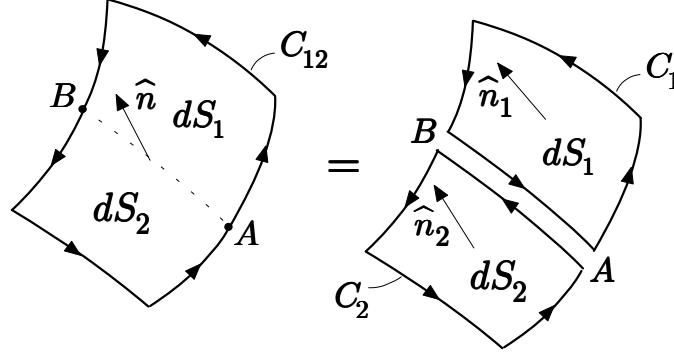


Figura 2.5: Due superfici elementari adiacenti.

in quanto il tratto \overline{AB} in Fig. 2.5, comune ai due contorni, apporta un contributo uguale ma opposto ai due integrali a secondo membro. Se con C_i si indica il contorno della i -esima superficie elementare dS_i è possibile scrivere

$$\oint_C \vec{a} \cdot \widehat{\ell} dl = \sum_{i=1}^N \oint_{C_i} \vec{a} \cdot \widehat{\ell} dl = \sum_{i=1}^N \frac{\oint_{C_i} \vec{a} \cdot \widehat{\ell} dl}{dS_i} dS_i. \quad (2.21)$$

Considerando un numero infinito di superfici elementari ($N \rightarrow \infty$) ognuna di esse risulterà infinitesima, $dS_i \rightarrow 0$, per cui

$$\oint_C \vec{a} \cdot \widehat{\ell} dl = \lim_{N \rightarrow \infty} \sum_{i=1}^N \left[\vec{\nabla} \times \vec{a} \cdot \widehat{n} \right] dS_i = \iint_S \vec{\nabla} \times \vec{a} \cdot \widehat{n} dS, \quad (2.22)$$

da cui segue il *teorema di Stokes*

$$\iint_S \vec{\nabla} \times \vec{a} \cdot \widehat{n} dS = \oint_C \vec{a} \cdot \widehat{\ell} dl. \quad (2.23)$$

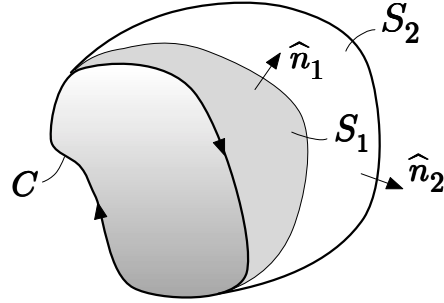


Figura 2.6: Applicazione del teorema di Stokes

Si noti come, con riferimento alla Fig. 2.6, per due qualsiasi superfici S_1 e S_2 aventi stesso contorno C risulta:

$$\iint_{S_1} \vec{\nabla} \times \vec{a} \cdot \hat{n} dS = \iint_{S_2} \vec{\nabla} \times \vec{a} \cdot \hat{n} dS. \quad (2.24)$$

2.4 Divergenza

Sia $\vec{a}(x, y, z)$ un campo vettoriale. Si definisce $\vec{\nabla} \cdot \vec{a}(x, y, z)$ *divergenza* del campo vettoriale $\vec{a}(x, y, z)$ la quantità scalare

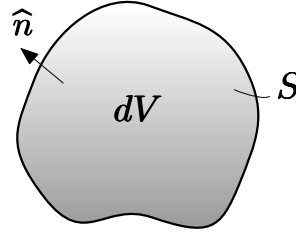
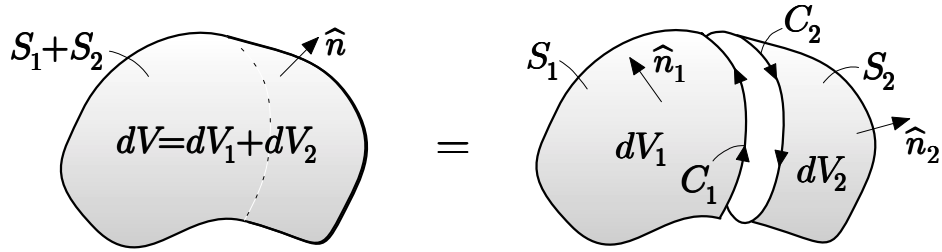
$$\vec{\nabla} \cdot \vec{a}(x, y, z) = \lim_{dV \rightarrow 0} \frac{\oint_S \vec{a}(x, y, z) \cdot \hat{n} dS}{dV}, \quad (2.25)$$

dove con \hat{n} si è indicata la normale uscente alla superficie S che racchiude il volume dV (Fig. 2.7).

Si noti che la divergenza del rotore di un campo vettoriale $\vec{b}(x, y, z)$ risulta sempre nulla, cioè $\vec{\nabla} \cdot \vec{\nabla} \times \vec{b} = 0$. Si consideri infatti la definizione di divergenza e si supponga la superficie chiusa S composta da due superfici aperte (Fig. 2.8), rispettivamente S_1 e S_2 , da ciò segue:

$$\begin{aligned} \vec{\nabla} \cdot \vec{\nabla} \times \vec{b} &= \lim_{dV \rightarrow 0} \frac{\oint_S \vec{\nabla} \times \vec{b} \cdot \hat{n} dS}{dV} = \\ &= \lim_{dV \rightarrow 0} \frac{\int_{S_1} \vec{\nabla} \times \vec{b} \cdot \hat{n} dS + \int_{S_2} \vec{\nabla} \times \vec{b} \cdot \hat{n} dS}{dV}. \end{aligned} \quad (2.26)$$

Applicando il teorema di Stokes gli integrali di superficie che appaiono nell'ultimo membro della precedente equazione possono essere scritti in termini di circuitazione sul contorno C_1 di versore tangente $\hat{\ell}_1$ e sul contorno C_2 di

Figura 2.7: Volume dV racchiuso dalla superficie chiusa S Figura 2.8: Scomposizione della superficie S in due superfici S_1 e S_2

versore tangente $\hat{\ell}_2$. Per come sono state costruite le due superfici i rispettivi contorni coincideranno $C_1 = C_2 = C$ ma saranno percorsi in senso opposto, per cui $\hat{\ell}_1 = -\hat{\ell}_2$, da cui:

$$\begin{aligned} \vec{\nabla} \cdot \vec{\nabla} \times \vec{b} &= \lim_{dV \rightarrow 0} \frac{\oint_{C_1} \vec{b} \cdot \hat{\ell}_1 dl + \oint_{C_2} \vec{b} \cdot \hat{\ell}_2 dl}{dV} = \\ &= \lim_{dV \rightarrow 0} \frac{\oint_C \vec{b} \cdot \hat{\ell}_1 dl - \oint_C \vec{b} \cdot \hat{\ell}_1 dl}{dV} = 0. \end{aligned} \quad (2.27)$$

Dualmente, se per un campo vettoriale $\vec{a}(x, y, z)$ si verifica la condizione $\vec{\nabla} \cdot \vec{a}(x, y, z) = 0$ il campo è detto solenoidale ed è sempre possibile trovare un campo vettoriale $\vec{b}(x, y, z)$ tale che $\vec{a}(x, y, z) = \vec{\nabla} \times \vec{b}(x, y, z)$. Si noti che il campo vettoriale $\vec{b}(x, y, z)$ è definito a meno del gradiente di una funzione scalare $\psi(x, y, z)$; infatti, posto $\vec{b}'(x, y, z) = \vec{b}(x, y, z) + \vec{\nabla}\psi(x, y, z)$, si ha

$$\vec{\nabla} \times \vec{b}'(x, y, z) = \vec{\nabla} \times \vec{b}(x, y, z) + \vec{\nabla} \times \vec{\nabla}\psi(x, y, z) = \vec{a}(x, y, z), \quad (2.28)$$

essendo $\vec{\nabla} \times \vec{\nabla}\psi(x, y, z) = 0$ per ogni funzione scalare $\psi(x, y, z)$.

2.4.1 Divergenza in coordinate cartesiane

$$\vec{\nabla} \cdot \vec{a} = \frac{\partial a_x}{\partial x} + \frac{\partial a_y}{\partial y} + \frac{\partial a_z}{\partial z} \quad (2.29)$$

2.4.2 Divergenza in coordinate cilindriche

$$\vec{\nabla} \cdot \vec{a} = \frac{1}{\rho} \frac{\partial}{\partial \rho} (\rho a_\rho) + \frac{1}{\rho} \frac{\partial a_\phi}{\partial \phi} + \frac{\partial a_z}{\partial z} \quad (2.30)$$

2.4.3 Divergenza in coordinate sferiche

$$\vec{\nabla} \cdot \vec{a} = \frac{1}{r^2} \frac{\partial}{\partial r} (r^2 a_r) + \frac{1}{r \sin \theta} \frac{\partial}{\partial \theta} (\sin \theta a_\theta) + \frac{1}{r \sin \theta} \frac{\partial a_\phi}{\partial \phi} \quad (2.31)$$

2.5 Teorema di Gauss

Procedendo in modo analogo a quanto già visto per il teorema di Stokes è possibile pensare un generico volume V racchiuso da una superficie S come composto da N volumi elementari dV_i ciascuno racchiuso da una superficie dS_i di normale uscente \hat{n}_i . In particolare, se si considerano due volumi elementari adiacenti dV_i e dV_j racchiusi rispettivamente dalle superfici dS_i e dS_j è immediato verificare che il flusso del campo vettoriale $\vec{a}(x, y, z)$ attraverso la superficie dS_{ij} , che racchiude entrambi i volumi, è esprimibile come somma dei flussi dello stesso campo attraverso le superfici che racchiudono i singoli volumi, cioè:

$$\oint_{dS_{ij}} \vec{a} \cdot \hat{n} dS = \oint_{dS_i} \vec{a} \cdot \hat{n}_i dS + \oint_{dS_j} \vec{a} \cdot \hat{n}_j dS. \quad (2.32)$$

Applicando tale proprietà a tutti i volumi elementari in cui è stato suddiviso il volume V , si ottiene:

$$\oint_S \vec{a} \cdot \hat{n} dS = \sum_{i=1}^N \oint_{dS_i} \vec{a} \cdot \hat{n}_i dS = \sum_{i=1}^N \frac{\oint_{dS_i} \vec{a} \cdot \hat{n}_i dS}{dV_i} dV_i. \quad (2.33)$$

Considerando un numero infinito di volumi elementari ($N \rightarrow \infty$) ognuno di essi risulterà infinitesimo, $dV_i \rightarrow 0$, per cui

$$\oint_S \vec{a} \cdot \hat{n} dS = \lim_{N \rightarrow \infty} \sum_{i=1}^N [\vec{\nabla} \cdot \vec{a}] dV_i = \int_V \vec{\nabla} \cdot \vec{a} dV, \quad (2.34)$$

da cui segue il *teorema di Gauss*

$$\int_V \vec{\nabla} \cdot \vec{a} dV = \oint_S \vec{a} \cdot \hat{n} dS. \quad (2.35)$$

2.6 Laplaciano scalare

Se $f(x, y, z)$ è un campo scalare allora si definisce *Laplaciano scalare* lo scalare

$$\nabla^2 f(x, y, z) = \vec{\nabla} \cdot \vec{\nabla} f(x, y, z), \quad (2.36)$$

dove l'operatore differenziale ∇^2 viene chiamato *Laplaciano*.

2.6.1 Laplaciano scalare in coordinate cartesiane

$$\nabla^2 f = \frac{\partial^2 f}{\partial x^2} + \frac{\partial^2 f}{\partial y^2} + \frac{\partial^2 f}{\partial z^2} \quad (2.37)$$

2.6.2 Laplaciano scalare in coordinate cilindriche

$$\nabla^2 f = \frac{1}{\rho} \frac{\partial}{\partial \rho} \left[\rho \frac{\partial f}{\partial \rho} \right] + \frac{1}{\rho^2} \frac{\partial^2 f}{\partial \phi^2} + \frac{\partial^2 f}{\partial z^2} \quad (2.38)$$

2.6.3 Laplaciano scalare in coordinate sferiche

$$\nabla^2 f = \frac{1}{r^2} \frac{\partial}{\partial r} \left[r^2 \frac{\partial f}{\partial r} \right] + \frac{1}{r^2 \sin \theta} \frac{\partial}{\partial \theta} \left[\sin \theta \frac{\partial f}{\partial \theta} \right] + \frac{1}{r^2 \sin^2 \theta} \frac{\partial^2 f}{\partial \phi^2} \quad (2.39)$$

2.7 Laplaciano vettoriale

Se $\vec{a}(x, y, z)$ è un campo vettoriale allora si definisce *Laplaciano vettoriale* il vettore

$$\nabla^2 \vec{a}(x, y, z) = \vec{\nabla} \left[\vec{\nabla} \cdot \vec{a}(x, y, z) \right] - \vec{\nabla} \times \left[\vec{\nabla} \times \vec{a}(x, y, z) \right]. \quad (2.40)$$

In generale l'espressione del Laplaciano vettoriale risulta complessa; tuttavia nel caso in cui si operi in un sistema di coordinate cartesiano esso è valutabile come la somma dei laplaciani scalari delle singole componenti cartesiane a_x, a_y, a_z del campo vettoriale \vec{a} , cioè:

$$\nabla^2 \vec{a} = \nabla^2 a_x \hat{x} + \nabla^2 a_y \hat{y} + \nabla^2 a_z \hat{z}. \quad (2.41)$$